

УДК 621.315.592

# О КОРРЕЛЯЦИИ РАСПРЕДЕЛЕНИЙ ИНТЕНСИВНОСТИ “УГЛЕРОДНОЙ” ПОЛОСЫ ЛЮМИНЕСЦЕНЦИИ С $h\nu_m = 1.49$ эВ И КОНЦЕНТРАЦИИ ВАКАНСИЙ МЫШЬЯКА В ПОЛУИЗОЛИРУЮЩИХ НЕЛЕГИРОВАННЫХ КРИСТАЛЛАХ GaAs

© 1995 г. К. Д. Глинчук, В. И. Гурошев, В. П. Кладько, А. В. Прохорович

Институт физики полупроводников АН Украины

Поступила в редакцию 17.01.94 г.

Проведено сопоставление изменений интенсивности полосы люминесценции с  $h\nu_m = 1.49$  эВ,  $I_{1.49}$ , обусловленной излучательными переходами свободных электронов на нейтральные атомы углерода в мышьяковой подрешетке арсенида галлия, и концентрации вакансий мышьяка  $[V_{As}]$  по радиусу  $x$  полуизолирующих нелегированных кристаллов GaAs. Показано, что на опыте не наблюдается предполагаемой ранее детальной корреляции изменений  $I_{1.49}$  и  $[V_{As}]$  с  $x$ . Отмеченное связано с определенной рекомбинационной неоднородностью полуизолирующих нелегированных кристаллов GaAs и неоднородным выпадением вакансий мышьяка  $V_{As}$  во время роста кристаллов.

## ВВЕДЕНИЕ

Полуизолирующие нелегированные кристаллы арсенида галлия (ПИН GaAs) широко используются для изготовления дискретных полупроводниковых приборов и интегральных схем [1 - 3]. Надежность и воспроизводимость их характеристик во многом определяются однородностью кристаллов. Поэтому значительное внимание уделяется изучению однородности последних и выяснению причин, приводящих к неоднородности их электрофизических свойств [3, 4]. Настоящая работа также связана с изучением однородности кристаллов ПИН GaAs. Ее сущность заключается в следующем.

Весьма важной характеристикой однородности кристаллов ПИН GaAs является распределение в них различных собственных точечных дефектов, в частности, вакансий мышьяка  $V_{As}$  (их концентрация  $[V_{As}]$ ) [3]. О распределении последних обычно судят по соответствующим изменениям интенсивности полосы люминесценции с положением максимума излучения  $h\nu_m \approx 1.49$  эВ  $I_{1.49}$ , обусловленной излучательными переходами свободных электронов на нейтральные (заполненные дырками) атомы углерода в мышьяковой подрешетке арсенида галлия  $C_{As}^0$ . Их равновесная концентрация –  $[C_{As}^0]$ , избыточная –  $[\delta C_{As}^0]$ ; очевидно,  $[C_{As}^0] = 0$  в кристаллах ПИН GaAs [3, 5, 6]. Отмеченное основано на предположении, что распределение интенсивности “углеродной” полосы люминесценции  $I_{1.49}$  (очевидно, величина  $I_{1.49}$  зависит от концентрации атомов углерода  $[C_{As}]$ , и, следовательно, от концентрации вакансий мышьяка  $[V_{As}]$ ) определяется лишь распреде-

лением вакансий мышьяка  $V_{As}$ , т.е. предполагается, что имеет место детальная корреляция изменений величин  $I_{1.49}$  и  $[C_{As}]$ , с одной стороны, и величин  $[C_{As}]$  и  $[V_{As}]$ , с другой (выполняется соотношение  $I_{1.49} \sim [C_{As}] \sim [V_{As}]$ ) [3, 6].<sup>1</sup> Ниже мы на основе прямого сопоставления радиальных по координате  $x$  изменений  $I_{1.49}$  и  $[V_{As}]$  по пластине ПИН GaAs покажем, что определение распределения вакансий мышьяка  $[V_{As}(x)]$  из данных для распределения интенсивности “углеродной” полосы люминесценции  $I_{1.49}(x)$  не всегда корректно – на опыте не наблюдается детальной корреляции изменений с  $x$  величин  $I_{1.49}$  и  $[V_{As}]$ . Последнее связано, во-первых, с определенной рекомбинационной неоднородностью кристаллов ПИН GaAs [времена жизни избыточных электронов  $\tau_e$  и дырок  $\tau_p$  (длина диффузии неосновных носителей тока  $l_d$ ) существенно изменяются по радиусу пластин изучаемых кристаллов], и, во-вторых, с неоднородным выпадением вакансий мышьяка из пересыщенного ими твердого раствора во время охлаждения кристалла в процессе его роста.

<sup>1</sup> Соотношение  $I_{1.49} \sim [C_{As}], [V_{As}]$  имеет место только тогда, когда атомы углерода и вакансии мышьяка играют относительно слабую роль в процессы рекомбинации избыточных носителей тока. Небольшое число из  $L$  генерируемых внешним воздействием электронно-дырочных пар рекомбинируют через них, в частности,  $I_{1.49} \ll L$ , т.е. время жизни неосновных носителей тока  $\tau \neq f([C_{As}], [V_{As}])$ . Иначе  $I_{1.49} \approx L$ , т.е.  $I_{1.49} \neq f([C_{As}], [V_{As}])$ , если в рекомбинации избыточных носителей тока доминируют атомы углерода ( $\tau \sim 1/[C_{As}]$ ) и  $I_{1.49} \sim \tau[C_{As}] \sim \tau[V_{As}] \neq f(V_{As})$  либо  $I_{1.49} \sim \tau^2[C_{As}] \sim \tau^2[V_{As}] \sim 1/[V_{As}]$ , если в указанном процессе доминируют вакансии мышьяка ( $\tau \sim 1/[V_{As}]$ ).

Соотношение между концентрациями вакансий мышьяка в твердом растворе  $[V_{As}]$  и на фронте кристаллизации расплава  $[V_{As}^*]$  (далее доля невыпавших вакансий мышьяка)  $\phi = [V_{As}]/[V_{As}^*] < 1$  существенно отличается по радиусу пластин изучаемых кристаллов, т.е.  $\phi = f(x)$ .<sup>2</sup>

## МЕТОДИКА ИССЛЕДОВАНИЙ

Опыты проведены на кристаллах ПИН GaAs. Удельное сопротивление  $\rho = 10^8 \Omega \text{ см}$  при 300 К и  $\rho \rightarrow \infty$  при 77 К. Величина  $\rho$  определялась термической ионизацией частично скомпенсированных дефектов E12, времена жизни избыточных носителей тока  $\tau_n = \tau_p = \tau = 10^{-10} \text{ с} = f([C_{As}], [V_{As}], L)$  при 77 К. Кристаллы выращены методом Чохральского из расплава, содержащего избыток атомов галлия над атомами мышьяка. В них доминирующими собственными точечными дефектами являлись вакансы мышьяка [7 - 9]. Концентрация последних  $[V_{As}] \approx 2 \times 10^{19} \text{ см}^{-3}$  намного превышала концентрацию иных дефектов и примесей; в частности,  $[V_{As}] \gg [C_{As}] \approx 10^{15} \text{ см}^{-3}$ .

На пластинах ПИН GaAs с толщиной  $d = 2 \text{ мм}$ , вырезанных перпендикулярно оси роста кристаллов, проводилось детальное сопоставление радиальных распределений интенсивности "углеродной" полосы люминесценции  $I_{1.49}$ , интенсивности "собственного" излучения  $I_{1.51}$  с положением максимума люминесценции  $h\nu_m \approx 1.51 \text{ эВ}$  при 77 К и концентрации вакансий мышьяка  $[V_{As}] = \phi[V_{As}^*]$ .

В качестве источника возбуждения рекомбинационного излучения использовался Не-Не-лазер. Энергия квантов  $h\nu = 1.96 \text{ эВ}$ , коэффициент поглощения света  $k = 4 \times 10^4 \text{ см}^{-1}$  ( $1/k = 0.25 \text{ мкм} = l_d \ll d$ ), интенсивность возбуждения  $L = 10^{20} \text{ квант}/(\text{см}^2 \text{ с})$ , размер освещаемой поверхности кристалла  $\sim 100 \times 100 \text{ мкм}$ , скорость генерации пар электрон-дырка по глубине у кристалла  $G(y) = kL\exp(-ky)$ , распределение концентрации по оси  $y$  избыточных электронов  $\delta n(y) = 0.5G(y)\tau_n$ , а дырок  $\delta p(y) = 0.5G(y)\tau_p$ , т.е.  $\delta n(y) \approx \delta p(y) \approx 0.5G(y)\tau$  и  $\delta n \approx \delta p \approx 0$  при  $y = d$ , эффективная вдоль оси у глубина зондирования кристалла лазером  $d^* = 1/k \approx 0.5 \text{ мкм}$ . Измерения  $I_{1.49} \sim \int_0^\infty [\delta C_{As}^0(y)] \delta n(y) dy$  проведены с точностью  $\pm 5\%$  при 77 К в области термического гашения излучения. Последнее связано с понижением  $[\delta C_{As}^0]$  при возрастании температуры. Очевидно, что  $[\delta C_{As}^0] \sim [C_{As}]\delta p$  и, следовательно,  $I_{1.49} \sim$

$\sim [C_{As}] \int_0^\infty \delta n(y) \delta p(y) dy \sim [C_{As}]L^2 \tau_n \tau_p \approx [C_{As}]L^2 \tau^2$ . При интегрировании выражения для  $I_{1.49}(y)$  предполагается, что  $[C_{As}] \neq f(y)$ . На опыте  $I_{1.49} \sim L^2$ , т.е.  $\tau \neq f(L)$ , и  $I_{1.49} \ll L$ . Измерения  $I_{1.51}$  с точностью  $\pm 5\%$  проведены также при 77 К (очевидно,  $I_{1.51} \sim \int_0^\infty \delta n(y) \delta p(y) dy \sim L^2 \tau_n \tau_p \sim L^2 \tau^2$ ). На опыте  $I_{1.51} \sim L^2$ , т.е.  $\tau \neq f(L)$  и  $I_{1.51} \ll L$ .

Радиальное распределение вакансий мышьяка  $V_{As}$  определялось с точностью  $\pm 5\%$  из измерений интенсивности квазизапрещенных отражений 200 рентгеновских лучей по разности концентраций атомов галлия  $N_{Ga}$  и мышьяка  $N_{As}$  в решетке арсенида галлия ( $\delta = N_{Ga} - N_{As}$  [10, 11]), т.е. по отклонению состава GaAs от стехиометрического. На опыте  $\delta > 0$ , так что  $\delta = [V_{As}]$  [7 - 9]. Все рентгенодифрактометрические измерения выполнялись на двухкристальном спектрометре по схеме  $(n, -m)$ , использовалось излучение  $CuK_{\alpha 1}$ , размер облучаемой поверхности кристалла порядка  $100 \times 100 \text{ мкм}$ , эффективная вдоль оси у глубина поглощения рентгеновского излучения  $d^{**} = \approx 5 \text{ мкм}$ , колебания температуры во время измерений не превышали  $\pm 0.2^\circ\text{C}$ .

Совпадение областей тестирования кристаллов при их облучении видимым и рентгеновским излучениями достигалось: а) вдоль радиуса кристалла  $x$  путем использования одного и того же держателя кристаллов с автоматическим перемещением с заданным шагом по их поверхности в двух взаимно перпендикулярных направлениях; б) вдоль оси кристалла  $u$  путем усреднения измеренных послойной по глубине  $d^* \leq u \leq d^{**}$  зависимостей  $I_{1.49}(x)$  и  $I_{1.51}(x)$ . Весьма высокая точность определения концентрации вакансий мышьяка  $[V_{As}]$  достигалась за счет измерений с достаточно высокой точностью  $\sim \pm 0.15\%$  интенсивности отраженного рентгеновского излучения [10].

## РЕЗУЛЬТАТЫ И ОБСУЖДЕНИЕ

Основные сравнительные данные о радиальном распределении интенсивности "углеродной" полосы люминесценции  $I_{1.49}$  и вакансий мышьяка  $V_{As}$  по пластине ПИН GaAs приведены на рисунке. В нем обращает на себя внимание следующее. Хотя на опыте наблюдается качественное соответствие изменений величин  $I_{1.49}$  и  $[V_{As}]$  с радиальной координатой  $x$ , однако отсутствует детальная корреляция соответствующих изменений величин  $I_{1.49}(x)$  и  $[V_{As}(x)]$ , т.е. имеется определенное отличие в их распределении.

Очевидно, что в исследуемом ПИН GaAs  $I_{1.49} \sim [C_{As}] \tau^2 \sim [V_{As}^*] \tau^2 = \Phi^{-1}[V_{As}] \tau^2$ .<sup>3</sup> Поэтому отме-

<sup>2</sup> Атомы углерода более стабильны по сравнению с вакансиями мышьяка в решетке арсенида галлия [3, 4]. Поэтому мы пренебрегаем возможным выпадением атомов углерода из твердого раствора.

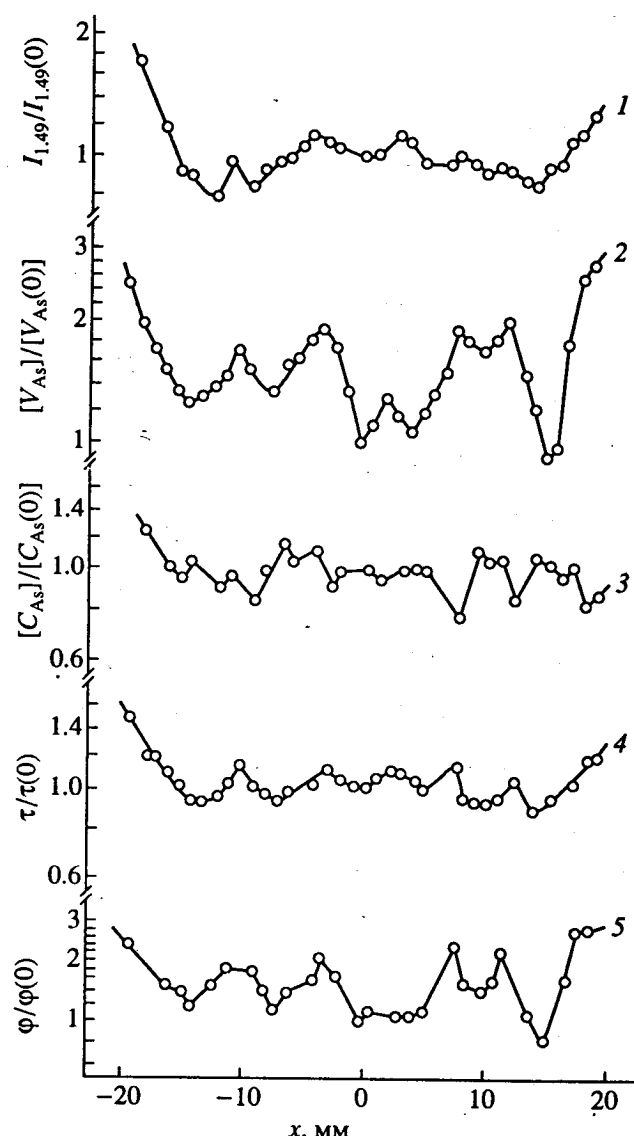
<sup>3</sup> Несомненно, на фронте кристаллизации расплава распределение атомов углерода детально коррелирует с распределением вакансий мышьяка, т.е.  $[C_{As}(x)] \sim [V_{As}^*(x)]$ .

ченное отличие распределений величин  $I_{1.49}(x)$  и  $[V_{As}(x)]$  может быть обусловлено как рекомбинационной неоднородностью ПИН GaAs (изменение  $\tau$  с  $x$ ), так и неоднородным выпадением из пересыщенного твердого раствора вакансий мышьяка (появлением зависимости  $\phi$  от  $x$ ). Тогда из сопоставления радиальных изменений величин  $I_{1.49}(x)$ ,  $I_{1.51}(x)$  и  $[V_{As}(x)]$  можно определить рекомбинационную неоднородность  $\tau(x)$  ( $\tau \sim (I_{1.51})^{0.5}$ ) и изменение с  $x$  доли невыпавших вакансий мышьяка  $\phi(x)$  ( $\phi \sim [V_{As}](I_{1.51}/I_{1.49})$ ). Соответствующие величины также показаны на рисунке. Как видно из рисунка, в ПИН GaAs наблюдается существенная неоднородность как величины  $\tau(x)$ , так и величины  $\phi(x)$ . Отмеченная особенность связана с неоднородным распределением центров рекомбинации избыточных носителей тока, по-видимому, точечных дефектов, и центров выпадения вакансий мышьяка, по-видимому, кластеров из точечных дефектов [3]. Следовательно, в ПИН GaAs отсутствие детальной корреляции в распределениях  $I_{1.49}(x)$  и  $[V_{As}(x)]$  связано как с их рекомбинационной неоднородностью, так и с неоднородным выпадением в них вакансий мышьяка из пересыщенного твердого раствора в процессе роста кристалла.

Рекомбинационная неоднородность кристаллов ПИН GaAs, т.е. зависимость  $\tau$  от  $x$ , приводит также к тому, что на опыте не наблюдается детальной корреляции изменений  $I_{1.49}(x)$  и  $[C_{As}(x)]$  (рисунок).<sup>4</sup> Следствием неоднородного выпадения вакансий мышьяка из твердого раствора (зависимости  $\phi$  от  $x$ ) является исчезновение детальной корреляции изменений  $[C_{As}(x)]$  и  $[V_{As}(x)]$  (рисунок).

## ЗАКЛЮЧЕНИЕ

В кристаллах ПИН GaAs не наблюдается детальной корреляции изменений интенсивности  $I_{1.49}$  полосы люминесценции с  $h\nu_m \approx 1.49$  эВ, обусловленной атомами углерода  $C_{As}$ , и концентрации вакансий мышьяка  $[V_{As}]$ . Отмеченное связано с определенной рекомбинационной неоднородностью кристаллов ПИН GaAs и искажением в распределении вакансий мышьяка  $V_{As}$  относительно атомов углерода  $C_{As}$  вследствие их неравномерного выпадения из пересыщенного твердого раствора. Поэтому нахождение в кристаллах GaAs распределения вакансий мышьяка  $[V_{As}(x)]$  из данных по распределению интенсивности "углеродной" полосы люминесценции  $I_{1.49}(x)$  не всегда является достаточно надежным. Достоверные сведения о зависимости  $[V_{As}] = f(x)$  в арсениде галлия могут быть получены лишь при использовании иных методов, в частности, по анализу интенсивности квазизапрещенных рентгеновских отражений [10, 11], или по изменениям плотности и периода решетки GaAs [9, 12]. Указанное необходимо учитывать при анализе причин, приводящих к неоднородности физических свойств кристаллов ПИН GaAs.



Радиальные распределения интенсивности "углеродной" полосы люминесценции  $I_{1.49}$  (1), концентраций вакансий мышьяка  $[V_{As}]$  (2), атомов углерода  $[C_{As}]$  (3), времени жизни избыточных носителей тока  $\tau$  (4) и доли невыпавших вакансий мышьяка  $\phi$  (5) по пластине кристалла ПИН GaAs. Величины  $I_{1.49}$ ,  $[V_{As}]$ ,  $[C_{As}]$ ,  $\tau$  и  $\phi$  нормированы относительно их значений в центре пластины (для  $x = 0$ ).

жений [10, 11], или по изменениям плотности и периода решетки GaAs [9, 12]. Указанное необходимо учитывать при анализе причин, приводящих к неоднородности физических свойств кристаллов ПИН GaAs.

## СПИСОК ЛИТЕРАТУРЫ

1. Айнспрук Н., Уиссмен У. Арсенид галлия в микроэлектронике. М.: Мир, 1988. 548 с.
2. Лоренцо Д.В., Канделуола Д.Д. Полевые транзисторы на арсениде галлия. М.: Радио и связь, 1988. 490 с.

<sup>4</sup> Распределение атомов углерода  $C_{As}$  определялось из сравнения радиальных изменений интенсивности  $I_{1.49}$  и  $I_{1.51}$ ,  $[C_{As}] \sim I_{1.49}/I_{1.51}$ .

## ГЛИНЧУК и др.

3. Глинчук К.Д., Гурошев В.И., Прохорович А.В. // Оптоэлектроника и полупроводниковая техника. Киев, 1992. Вып. 24. С. 66.
4. Suemitsu M., Terada K., Nishijima M., Miyamoto N. // J. Appl. Phys. 1991. V. 70. № 5. P. 2594.
5. Глинчук К.Д., Гурошев В.И., Прохорович А.В. // Оптоэлектроника и полупроводниковая техника. Киев, 1994. В. 28. С. 120.
6. Shinohara M., Hyuga F., Watanabe K., Imamura Y. // J. Appl. Phys. 1986. V. 60. № 1. P. 304.
7. Бублик В.Т., Морозов А.Н., Освенский В.Б., и др. // Кристаллография. 1979. Т. 24. № 6. С. 1230.
8. Hurle D.T. // J. Phys. Chem. Solids. 1979. V. 40. № 8. P. 613.
9. Мильвидский М.Г., Освенский В.Б. Структурные дефекты в монокристаллах полупроводников. М.: Металлургия, 1984. 256 с.
10. Matsuzaki T., Tomotake Y., Yajima F., Okano T. // Japan. J. Appl. Phys. 1986. V. 25. № 2. P. 291.
11. Fujimoto I. // Mater. Sci. and Engng. 1992. V. 14. № 4. P. 426.
12. Марков А.В., Морозова А.Н. // Физика и техника полупроводников. 1986. Т. 20. № 1. С. 154.